

Universidade Federal de Ouro Preto
Departamento de Ciência da Computação

Otimização de alocação e roteamento de manutenção para complexos eólicos no litoral

Marina S. Mendes
Jordi A. Reinsma

August 22, 2017



Introdução

O Problema e o Modelo Proposto

O Código em GLPK - Gusek

Arquivo Fonte

Conclusão

Considerações e conclusão

Referências

Introdução

O Problema e o Modelo Proposto



Figure: Exemplo de complexo eólico



- ▶ O problema deste trabalho pode ser categorizado como um problema de roteamento de veículos com "pick-up and delivery".[1]



- ▶ O problema deste trabalho pode ser categorizado como um problema de roteamento de veículos com "pick-up and delivery".[1]
- ▶ Uma quantidade de técnicos precisa ser transferida de pontos de busca para pontos de entrega. O objetivo é encontrar rotas ótimas para a embarcação ou frota de embarcações para visitar os pontos de busca e entrega.



- ▶ O problema deste trabalho pode ser categorizado como um problema de roteamento de veículos com "pick-up and delivery".[1]
- ▶ Uma quantidade de técnicos precisa ser transferida de pontos de busca para pontos de entrega. O objetivo é encontrar rotas ótimas para a embarcação ou frota de embarcações para visitar os pontos de busca e entrega.
- ▶ O modelo encontra a alocação ótima para manutenção das turbinas e as rotas ótimas para as embarcações que vão até elas.

Introdução

O Problema e o Modelo Proposto

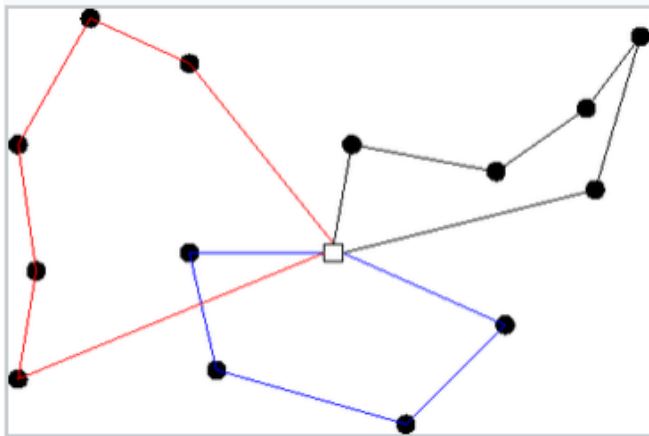


Figure: Exemplo do VRP

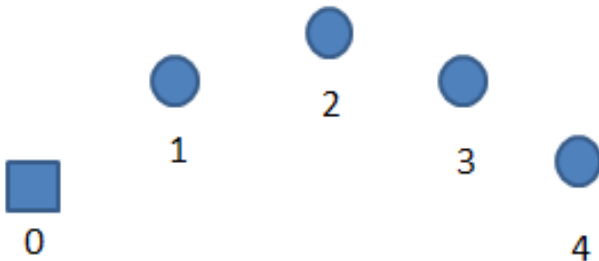


Figure: Exemplo do modelo com 4 nós

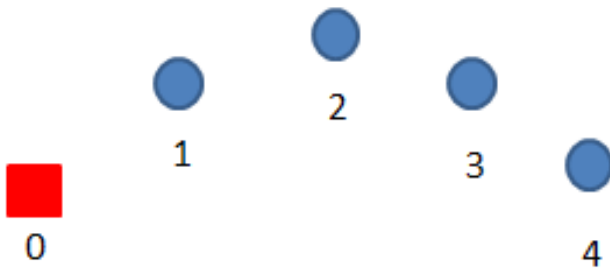


Figure: A embarcação sai da base

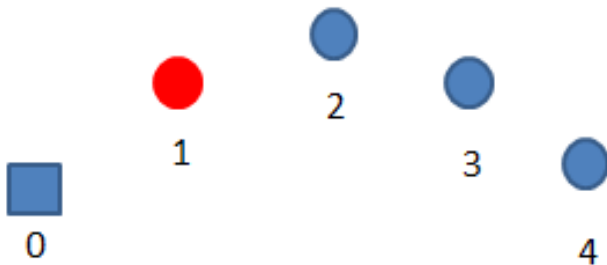


Figure: Primeira turbina a ser feita a manutenção

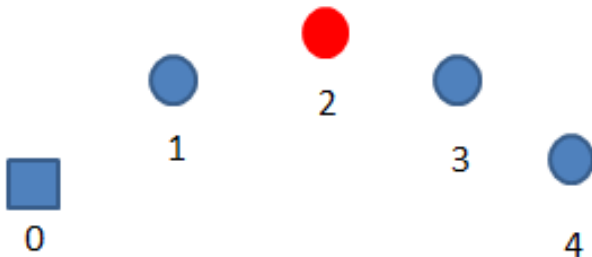


Figure: Segunda turbina a ser feita a manutenção

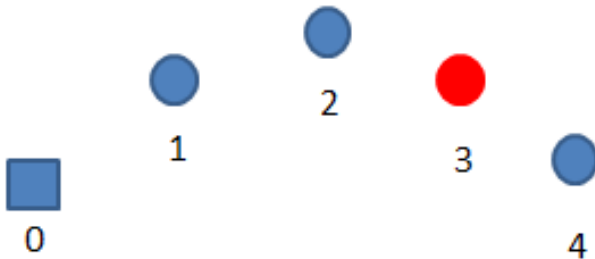


Figure: Terceira turbina a ser feita a manutenção

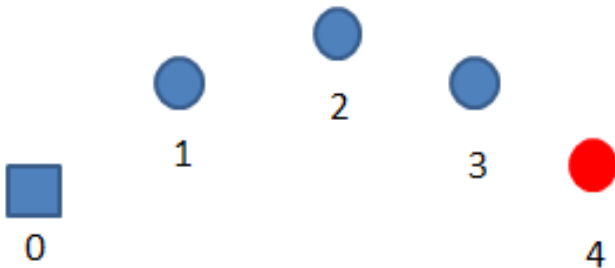


Figure: Última turbina a ser feita a manutenção

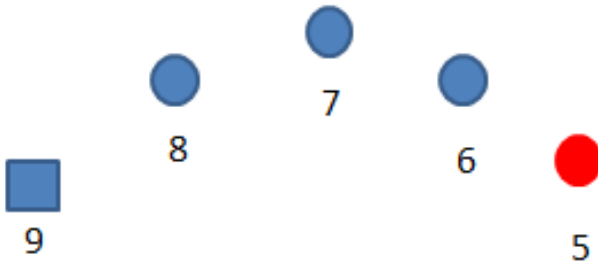


Figure: Primeira turbina onde buscar os técnicos após a manutenção

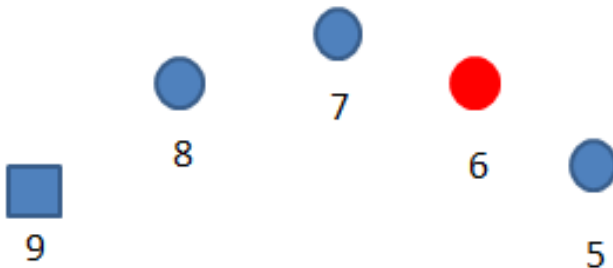


Figure: Segunda turbina onde buscar os técnicos após a manutenção

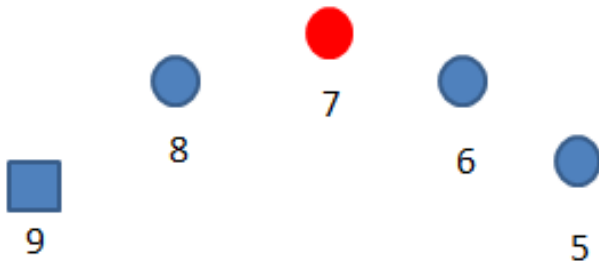


Figure: Terceira turbina onde buscar os técnicos após a manutenção

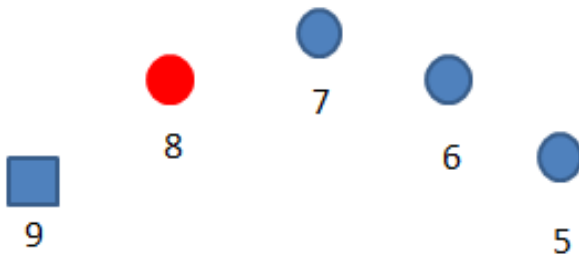


Figure: Quarta turbina onde buscar os técnicos após a manutenção



Figure: A embarcação retorna para a base

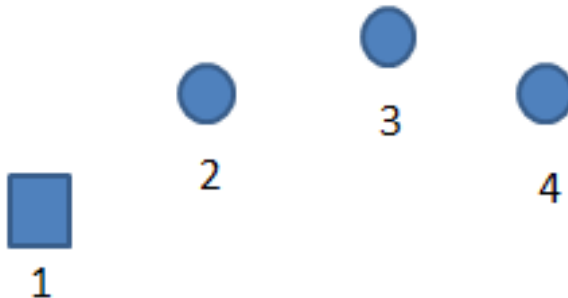


Figure: Exemplo com 4 nós (base inclusa)

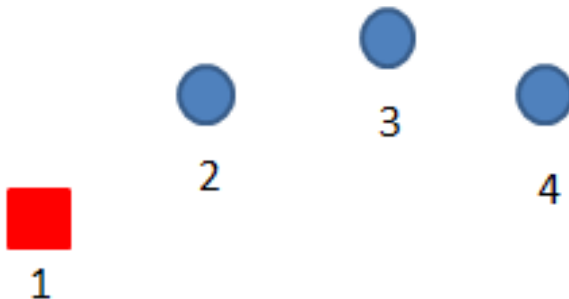


Figure: A embarcação sai da base

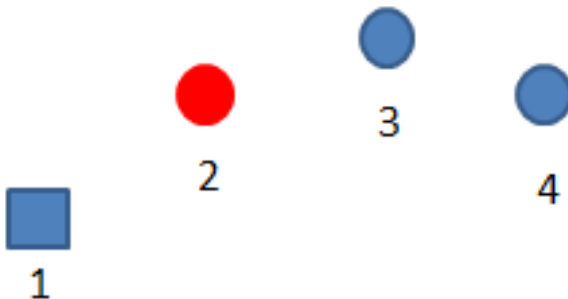


Figure: Primeira turbina a ser feita a manutenção

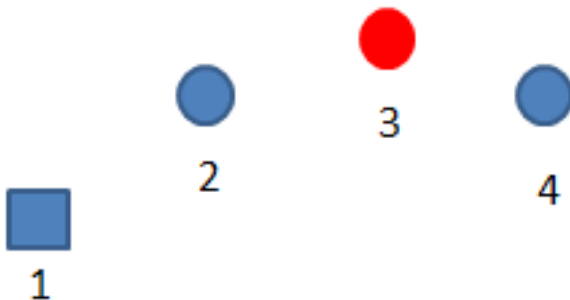


Figure: Segunda turbina a ser feita a manutenção

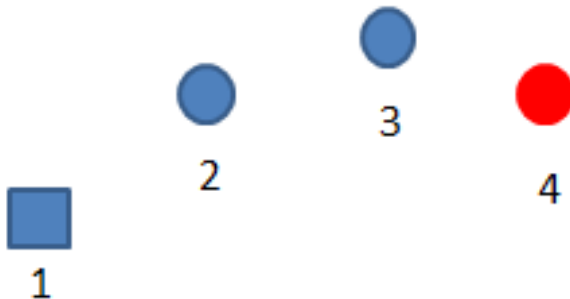


Figure: Última turbina a ser feita a manutenção



Figure: Primeira turbina onde buscar os técnicos após a manutenção

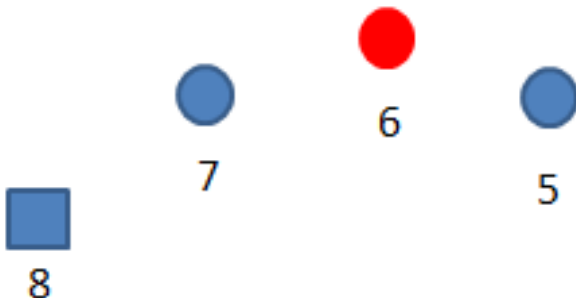


Figure: Segunda turbina onde buscar os técnicos após a manutenção

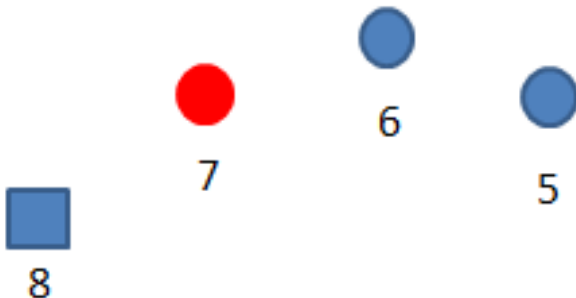


Figure: Última turbina onde buscar os técnicos após a manutenção



Figure: A embarcação retorna para a base

J^- :set of delivery/drop nodes, $J^- = \{1, 2, \dots, n\}$.

J^+ :set of pick up nodes, $J^+ = \{n+1, n+2, \dots, 2n\}$.

$J^* = J^- \cup J^+ \cup \{0, 2n+1\}$:Nodes 0 and $2n+1$ represent start and end nodes respectively (O&M base b).

$J^v \subseteq J^-$:the set of turbines that need the vessel to be present during the maintenance operations.

The MILP model aims to find the optimal route that minimises the cost (travel and technicians costs). Indices t, b, f, v , and r are known/fixed; therefore, in this MILP model, those indices are removed. There are three decision variables for this problem as follows:

$Y_{ii'}$:= 1 if vessel v travel from node i to i' , =0 otherwise ($i, i' \in J^*$).

\hat{T}_i :the time when vessel v visit (drop/pick) node i ($i \in J^*$).

Q_{pi} :number of technicians (type p) on vessel v after leaving node i

Figure: Conjuntos e variáveis do modelo



The objective function is defined as follows:

$$\min Z = c^{qr} + c^{tr} \quad (6)$$

where c^{qr} and c^{tr} are the technicians and travel costs respectively for route r of vessel v in period t which is formulated as follows:

$$c^{qr} = \sum_{p \in P} (q_p \cdot \hat{c}_p) \quad (7)$$

$$c^{tr} = \sum_{i \in J^*} \sum_{i' \in J^*} (c_{ii'} \cdot y_{ii'}) \quad (8)$$

q_p is the number of technicians (for each type p) required by vessel v on period t with $q_p = Q_{p0}$. In other words, q_p is the number of technicians leaving from O&M base b .

Figure: Função Objetivo



The constraints are given as follows:

$$\sum_{i' \in J^+} Y_{ii'} = 1, \forall i \in J^* \quad (9)$$

$$\sum_{i \in J^-} Y_{0i} = 1 \quad (10)$$

$$\sum_{i \in J^+} Y_{i(2n+1)} = 1 \quad (11)$$

$$\sum_{i' \in J^+} Y_{ii'} = \sum_{i' \in J^+} Y_{i'i}, \forall i \in J^* \quad (12)$$

$$\sum_{i' \in J^+} Y_{ii'} = \sum_{i' \in J^+} Y_{(n+i)i'}, \forall i \in J^- \quad (13)$$

$$Y_{i(n+i)} = 1, \forall i \in J^+ \quad (14)$$

$$\hat{T}_{n+i} - \hat{T}_i \geq \hat{\tau}_i + \tilde{\tau}, \forall i \in J^- \quad (15)$$

$$\hat{T}_{2n+1} \leq \psi \quad (16)$$

$$\hat{T}_0 = 0 \quad (17)$$

$$0 \leq \sum Q_{p,i} \leq \tilde{\rho}, \forall i \in J^* \quad (18)$$

Figure: Conjunto de Restrições

$$Y_{ii'}(\hat{T}_i + \tau_{ii'} + \tilde{\tau} - \hat{T}_{i'}) \leq 0, \forall i, i' \in J^*, i' \neq i + n \quad (19)$$

$$Y_{ii'}(Q_{pi} - \rho_{pi'} - Q_{pi'}) = 0, \forall p \in P, i \in J^-, i' \in J^* \quad (20)$$

$$Y_{ii'}(Q_{pi} + \rho_{pi'} - Q_{pi'}) = 0, \forall p \in P, i \in J^+, i' \in J^* \quad (21)$$

$$q_p = \max_{i \in J^*} \{Q_{pi}\} = Q_{p0}, \forall p \in P \quad (22)$$

$$Q_{pi} \leq \hat{\rho}_p, \forall p \in P, i \in J^* \quad (23)$$

Figure: Restrições não lineares



Considerações sobre o Modelo

- ▶ Restrição não linear de tempo e a linearização pelo Big M



Considerações sobre o Modelo

- ▶ Restrição não linear de tempo e a linearização pelo Big M
- ▶ Restrição não linear de técnicos e dificuldades encontradas



Considerações sobre o Modelo

- ▶ Restrição não linear de tempo e a linearização pelo Big M
- ▶ Restrição não linear de técnicos e dificuldades encontradas
- ▶ Simplificação do modelo



```
1  ### Declaração dos parâmetros ###
2
3  param N, integer, >= 4; #Número de vértices (2*turbinas + 2 bases)
4
5  check: N mod 2 == 0; #Para verificar se nao tem entrada errada: N deve ser par
6
7  set Jminus := {2..(N/2)}; #Conjunto de entrega
8
9  set Jplus := {(N/2)+1..N-1}; #Conjunto de busca
10
11  set Jstar := {Jminus union Jplus union {1, N}}; #Conjunto total
12
13  set Jv within Jminus := {N/2}; #Subconjunto das turbinas com manutenção especial
14
15  set A, within Jstar cross Jstar; #Matriz de arestas
16
17  param C{(i,j) in A}; #Peso das arestas
18
```

Figure: Parâmetros



```
19  ### Declaração das variáveis de decisão ###
20
21  var Y{(i,j) in A}, binary: #1 caso a aresta for visitada, 0 caso contrário
22
23  ### Restrições ###
24
25  s.t. r1{(i in Jstar): sum{(i,j) in A} Y[i,j] = 1; #Entra no vértice uma única vez
26
27  s.t. r2{(j in Jstar): sum{(i,j) in A} Y[i,j] = 1; # Sai do vértice uma única vez
28
29  var X{(i,j) in A}, >= 0; #Variável auxiliar, funciona como um fluxo, impede criação de subrotas
30
31  s.t. r3{(i,j) in A}: X[i,j] <= (N - 1) * Y[i,j]; #Fluxo X rodando caso selecionar aresta Y
32
33  - s.t. r4{(i in Jstar): sum{(j,i) in A} X[j,i] + (if i = 1 then N) = sum{(i,j) in A} X[i,j] + 1; #Fluxo diminui em uma unidade
34  | por vértice
35
36  s.t. r5{(i in Jminus): sum{(i,j) in A} Y[i,j] = sum{(i,j) in A} Y[i + (N/2) - 1,j]; #Entrega e devolução devem ser realizadas em
37  | todas as turbinas
38
39  s.t. r6{(i in Jv): Y[i, i + (N/2) - 1] = 1; #Barco precisa fazer entrega e devolução na turbina imediatamente
40
41  ### Função objetivo ###
42
43  minimize Z: sum{(i,j) in A} C[i,j] * Y[i,j];
44
45  solve;
```

Figure: Variáveis, Restrições e Função Objetivo



```
66 param N := 8;  
67  
68 param : A : : C :=  
69 → : 1 2 : 16  
70 → : 1 3 : 10  
71 → : 1 4 : 28  
72 → : 1 5 : 999  
73 → : 1 6 : 999  
74 → : 1 7 : 999  
75 → : 1 8 : 999  
76 → : 2 1 : 999
```



Considerações e Conclusão

O modelo original apresentou restrições que causaram dificuldade para sua remodelagem e simplificação. Desta forma, uma remodelagem mais simples foi feita do problema de "Pickup and Delivery".



- [1] C. A. I. et al.
Optimisation of maintenance routing and scheduling for offshore wind farms.
European Journal of Operational Research, 6(256), 2017.